



# Rapport de projet : Hovercraft control laws variant

BOUBKRAOUI Mustapha

02/2023

# 1 Introduction

Le projet "Hovercraft" fait partie de notre module "Commande pour la robotique". Il vise à explorer les concepts de liberté et de platitude pour renforcer les connaissances acquises en matière de commande de systèmes, en se concentrant sur les systèmes robotiques, tels que les aéroglisseurs. Les aéroglisseurs sont des engins hybrides qui peuvent se déplacer sur diverses surfaces, telles que la terre, l'eau et la glace, grâce à un coussin d'air haute pression généré entre la coque et la surface en dessous, contenu dans une "jupe" flexible. Le but du projet est de développer une trajectoire prescrite pour l'aéroglisseur en utilisant un modèle cinématique simplifié, afin de faciliter la modélisation des forces hydrodynamiques. Les aéroglisseurs sont utilisés dans de nombreuses applications industrielles, telles que les secours en cas de catastrophe, les opérations de garde-côtes, les enquêtes militaires et les sports nautiques.

## 2 Description du modèle cinématique

Pour construire les équations différentielles du modèle cinématique du Hovercraft, on présente l'espace de modélisation du système à décrire pour avoir une vue claire et globale sur le système. On remarque deux références, l'un est le référentiel globale (O-XY $\psi$ ) et l'autre est un référentiel fixe attachée au Hovercraft (o-uvr).

### 2.1 Modèle cinématique complet :

En utilisant le modèle décrit dans [?], on représente la position x,y et l'orientation  $\psi$  du système.

$$\begin{cases} \dot{x} = \cos(\psi)u - \sin(\psi)v \\ \dot{y} = \sin(\psi)u + \cos(\psi)v \\ \dot{\psi} = r \end{cases}$$

Sachant que (x,y, $\psi$ ) le référentiel de l'espace de Hovercraft, et (u,v,r) sont les vitesses de surge, sway et yaw.

On considère après de contrôler la position sans l'orientation  $\psi$ , en regard des équations précédentes, pour simplifier les équations polynomial et éliminant  $\psi$ , on utilise la transformation des coordinations comme cité déjà .

$$\begin{cases} z_1 = \cos(\psi)x + \sin(\psi)y \\ z_2 = -\sin(\psi)x + \cos(\psi)y \\ z_3 = \psi \end{cases}$$

On s'intéresse maintenant à faire une simplification des équations déjà obtenue dans la partie précédente. On reçoit le module comme vu dans une littérature citée dans [?] :

$$\begin{cases} \dot{u} = vr + \tau_u \\ \dot{v} = -ur \\ \dot{r} = \tau_r \\ \dot{z}_1 = u + z_2r \\ \dot{z}_2 = v - z_1r \end{cases}$$

### 2.2 Modèle cinématique simplifié

Les dynamiques simplifiées des précédentes équations de module sont les suivantes :

$$\begin{cases} \dot{u} = vr + \tau_u \\ \dot{v} = -ur \\ \dot{r} = \tau_r \end{cases}$$

Où  $\tau_u$  est la commande du surge et  $\tau_r$  est la commande on yaw et (u,r) notre sortie plate.

### 3 Contrôle de suivi du système non lineaire :

#### 3.1 Analyse de Platitude :

On prend le modèle cinématique simplifié de Hovercraft déjà représenté par les équations s'état non linéaire développées dans la partie précédente.

Notre système est commandé par un vecteur de commande de 2 composantes :  $\tau_u$  et  $\tau_r$ , ce qui signifie que notre sortie plate si elle existe, elle admet 2 composantes.

##### 3.1.1 Paramétrisation :

Maintenant on cherche les équations qui représentent les commandes  $\tau_u$  et  $\tau_r$  en fonctions des sorties plates uniquement :

$$\begin{cases} \tau_u = \dot{u} - vr = \dot{u} - v \frac{\dot{r}}{-u} \\ \tau_r = \dot{r} = \frac{-\dot{u} \frac{v}{u} - \ddot{v}}{u} \end{cases}$$

##### 3.1.2 Algorithme d'extension dynamique :

On utilise l'algorithme d'extension dynamique pour montrer que  $y = (u, v)$  est notre sortie plates :  
Phase I :

$$\begin{cases} \dot{u} = vr + \tau_u (\kappa_1 = 1) \\ \ddot{v} = -\dot{u}r - u\dot{r} = -\dot{u}r - u\tau_r (\kappa_2 = 2) \end{cases}$$

Phase II :

Puisque  $\kappa_1 + \kappa_2 = 1 + 2 = 3 = \text{dimension de l'état}$ , le modèle admet alors  $(u, v)$  comme des sorties plates de notre système.

##### 3.1.3 Closed loop trajectory tracking :

On choisissant  $(v_1, v_2)$  comme la nouvelle entrée, le bouclage par la suite est donnée par les équations suivantes :

on pose  $y_r = (u_r, v_r)$  comme la trajectoire de la sortie plate  $y$  :

$$\begin{cases} v_1 = \dot{u}_r - \lambda_1(u - u_r) \\ v_2 = \ddot{v}_r - \lambda_2(v - v_r) - \lambda_3(\dot{v} - \dot{v}_r) \end{cases}$$

on représente les commandes avec les nouvelles entrées choisies :

$$\begin{cases} \tau_u = v_1 - vr \\ \tau_r = \frac{-\dot{u}r - v_2}{u} \end{cases}$$

On remplaçant les dernières équations qu'on a trouvé pour  $(v_1, v_2)$ , on trouve les commandes suivantes :

$$\begin{cases} \tau_u = -vr + \dot{u}_r - \lambda_1(u - u_r) \\ \tau_r = \frac{-\dot{u}r - \ddot{v}_r - \lambda_2(v - v_r) - \lambda_3(\dot{v} - \dot{v}_r)}{u} \end{cases}$$

### 3.2 Simulations et résultats

#### 3.3 La performance du système sans perturbations

Dans cette partie, on va montrer les résultats des simulations de la commande synthétisée.

On définit les états initiaux comme suivant :  $u_0 = 1$ ,  $v_0 = 2$ ,  $\dot{u}_0 = 1$ .

On fixe une trajectoire de référence sous forme d'une tangente hyperbolique de la forme suivante :

On obtient les résultats suivants

On remarque que la trajectoire de l'état  $u$  suit celle de l'état de référence instantanément avec une marge d'erreur assez petite. Il y a une petite fluctuation au début pour l'état  $v$ , cela revient au

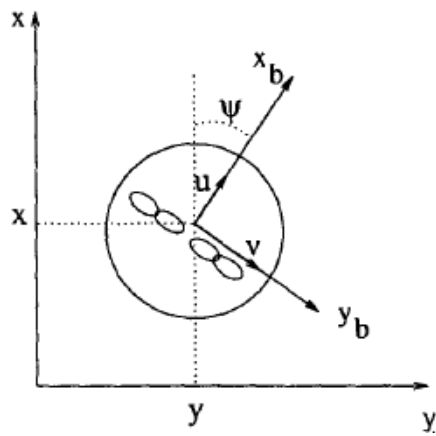


FIGURE 1 – The Hovercraft.

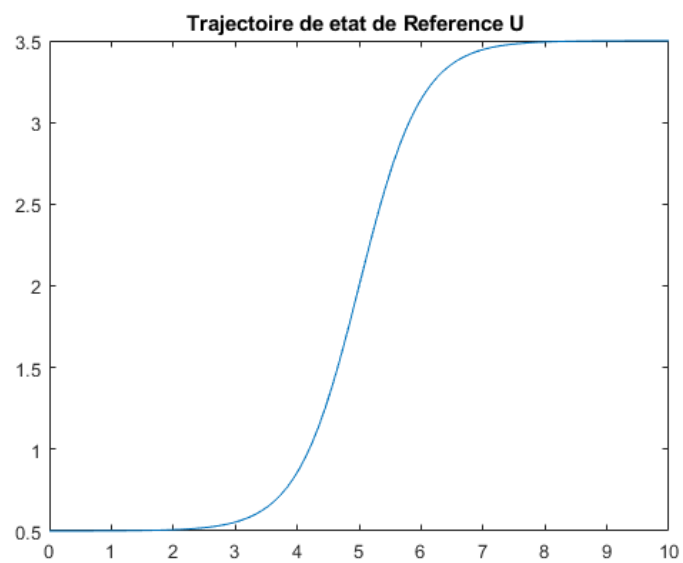


FIGURE 2 – Trajectoire de refecence pour l'état  $u$

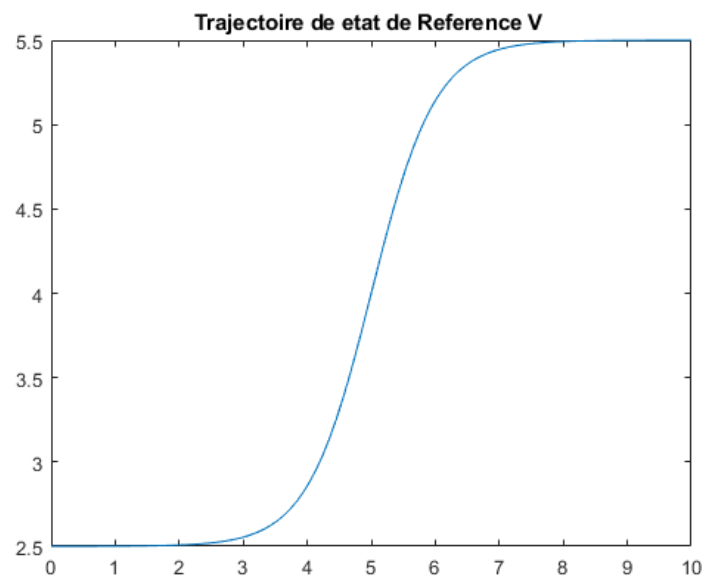


FIGURE 3 – Trajectoire de refeence pour l'état  $v$

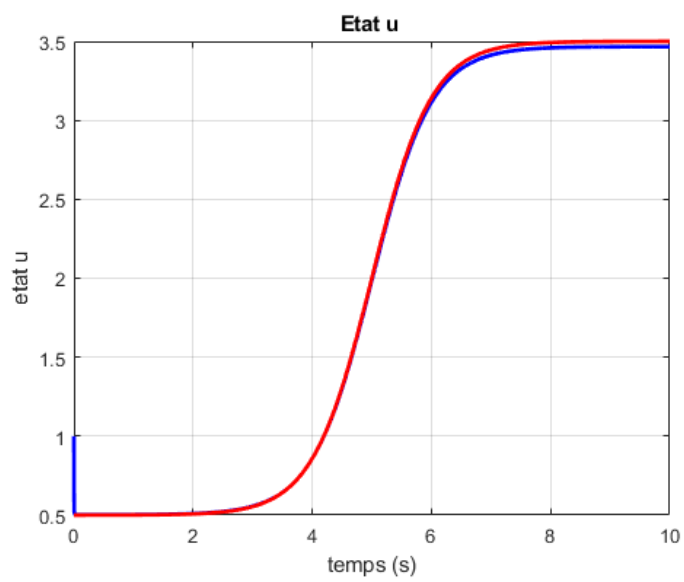


FIGURE 4 – suivie de trajectoire de pour l'état  $u$

faite que nous avons initialise l'état  $v_0$  a 2. Puis, le trajectoire de l'état arrive a suivre le trajectoire de reference d'une maniere effecase.

**Conclusion partielle** On voit bien qu'il y a un bon suivie de la trajectoire pour les deux état  $u$  et  $v$ .

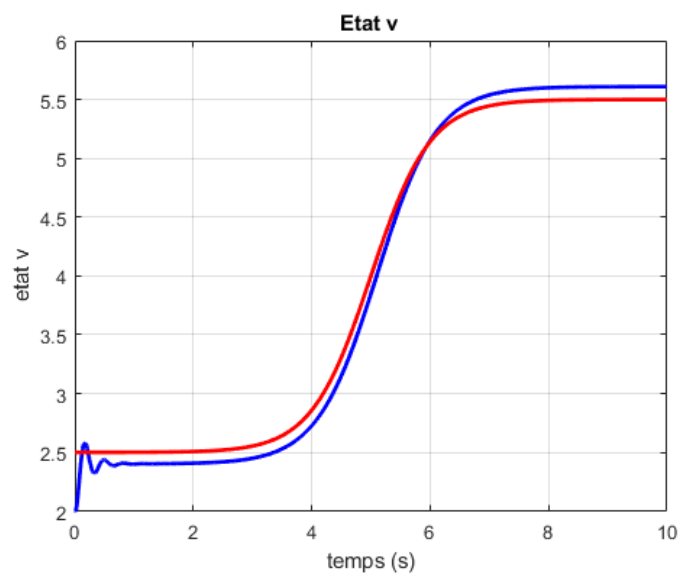


FIGURE 5 – suivie de trajectoire de pour l'état  $v$

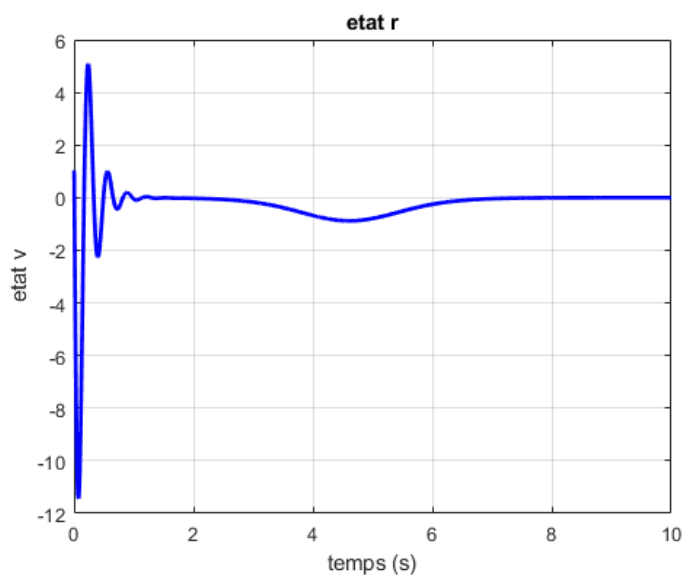


FIGURE 6 – l'évolution de l'état  $r$

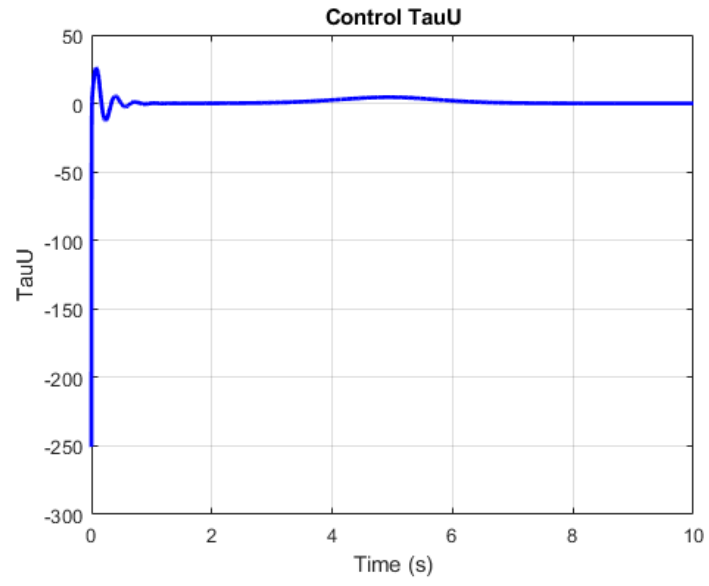


FIGURE 7 – commande  $\tau_u$

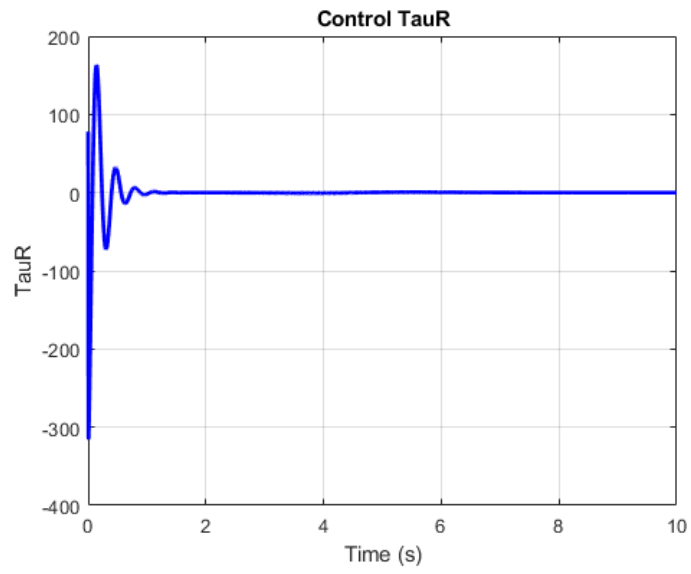


FIGURE 8 – commande  $\tau_r$



### 3.4 La performance du système sous perturbations

On n'a essayé de simuler un suivi de trajectoire mais cette fois-ci en appliquant des perturbations sous la forme suivante :

On remarque les résultats suivantes :

Le trajectoire de l'état  $u$  n'est pas affecté fortement mais si on fait zoomer sur le début du trajectoire, on peut voir des petites fluctuations. Pour l'état  $v$ , on voit un effet clair sur le trajectoire sous forme des fluctuations ce qui donne une erreur plus importante.

Conclusion partielle :

Après avoir ajouté les perturbations on remarque que même en présence de ces perturbations le système a réussi à corriger la commande de telle façon à suivre les trajectoire de référence pour les états  $u$  et  $v$ .

## 4 Conclusion :

Le but de l'étude était principalement d'étudier la platitude du système et pour l'utiliser pour le suivi des trajectoires, nous avons utilisé l'algorithme d'extension dynamique pour valider la platitude de la sortie que nous avons choisie pour atteindre la trajectoire de rétroaction suivi. Nous avons implémenté le modèle et le suivi de trajectoire sur MatLab, ce qui a été fait avec succès on ajustant plusieurs paramètres. À la fin, on a testé la robustesse en ajoutant une perturbation sur différents états du système et la simulation sur MatLab nous a montré de bons résultats.

## Références

- [1] Fantoni, I. et al. (1999). "Stabilization of a nonlinear underactuated hovercraft". In : Conference on Decision and Control, Phoenix, Arizona, USA, pp. 2533–2538
- [2] Sira-Ramirez, H. and C. Aguilar Ibanez (2000). "On the Control of the Hovercraft System". In : Dynamics and Control 10, pp. 151–163
- [3] Morten Breivik, Vegard E. Hovstein, Thor I. Fossen. "Straight-Line Target Tracking for Unmanned Surface Vehicles", Modeling, Identification and Control, Vol. 29, No. 4, 2008, pp. 131—149

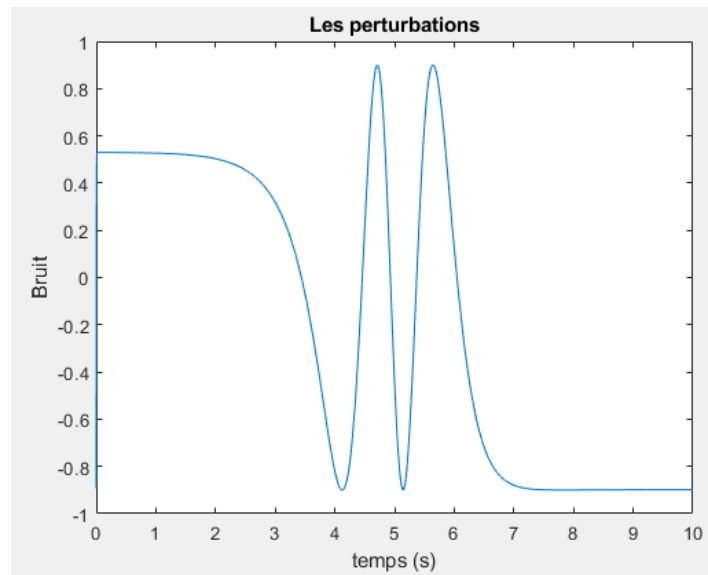


FIGURE 9 – Les perturbations

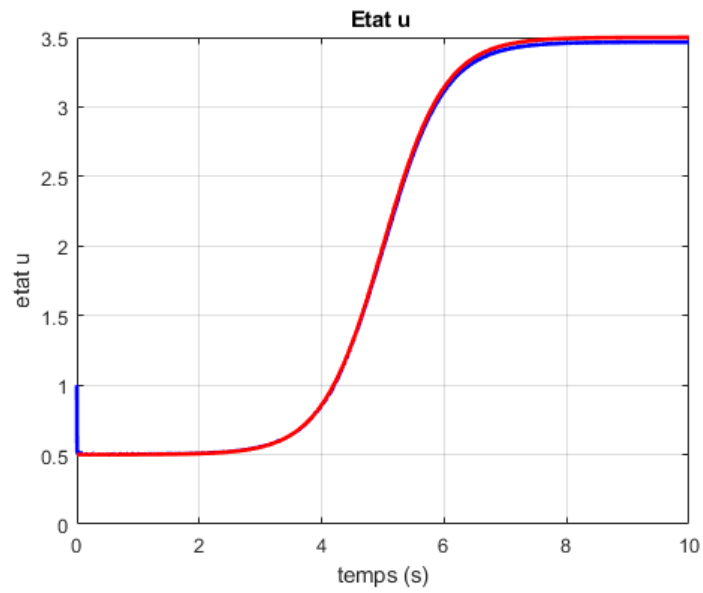


FIGURE 10 – suivie de trajectoire de pour l'état  $u$

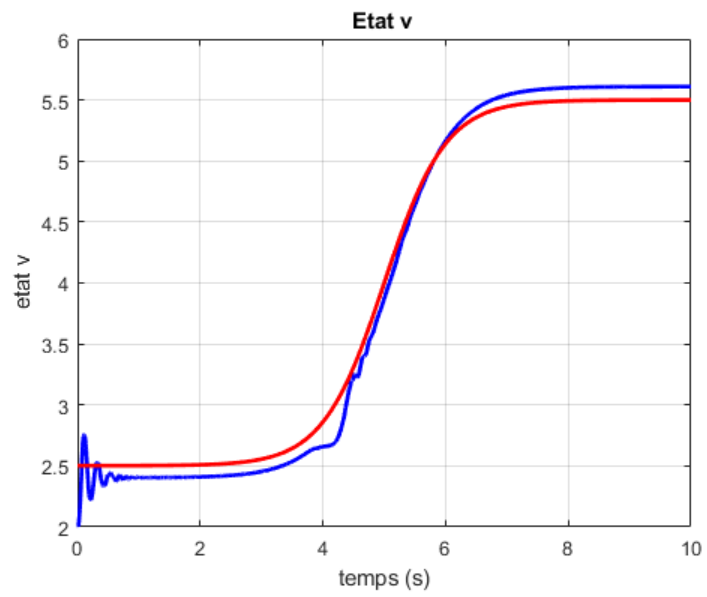


FIGURE 11 – l'évolution de l'état  $v$

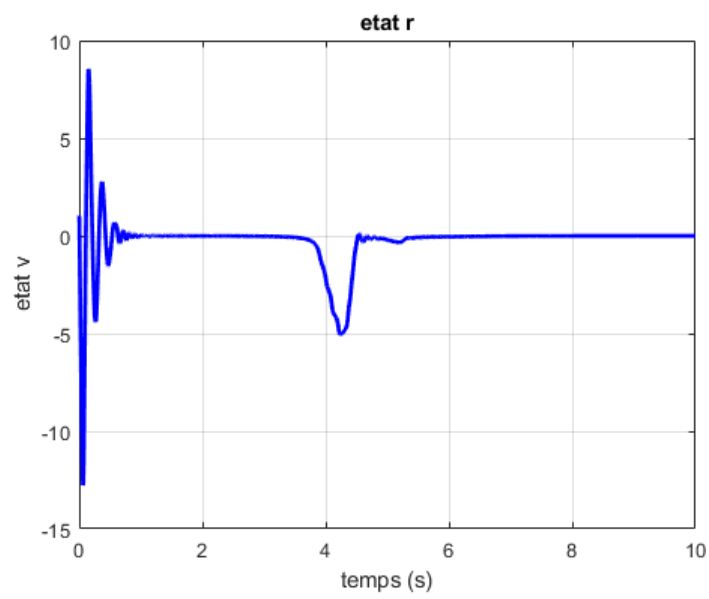


FIGURE 12 – l'évolution de l'état  $r$

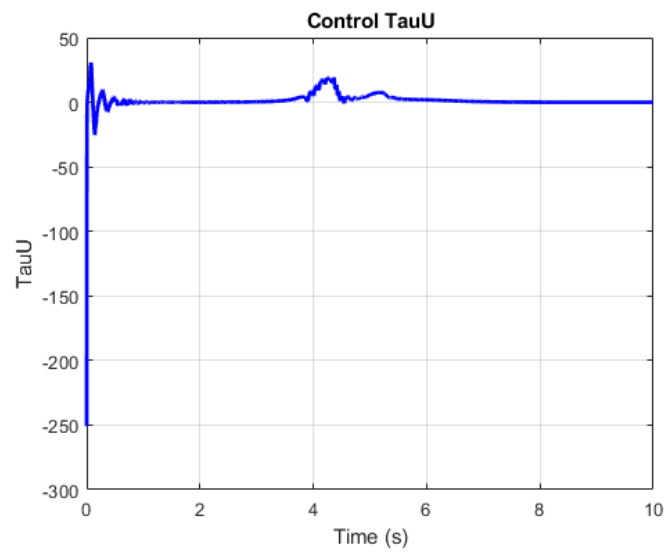


FIGURE 13 – commande  $\tau_u$

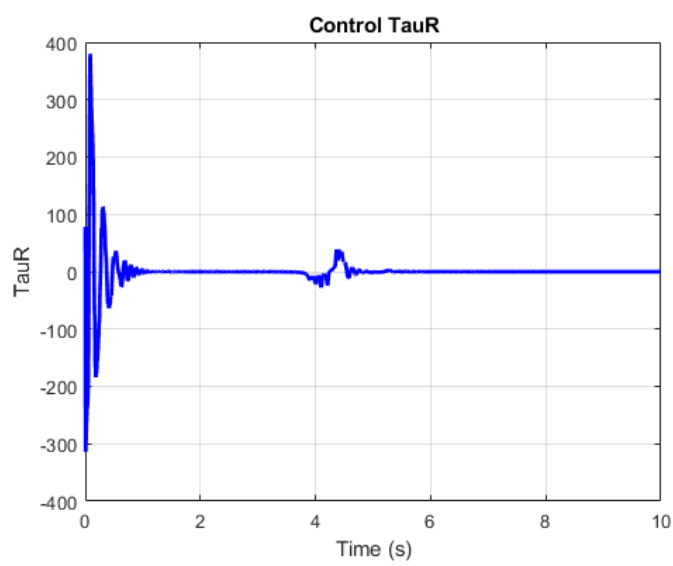


FIGURE 14 – commande  $\tau_r$